

1

2

3

4

5

7

8

9

10

11

12

13

14

15

16

17

18

19

19

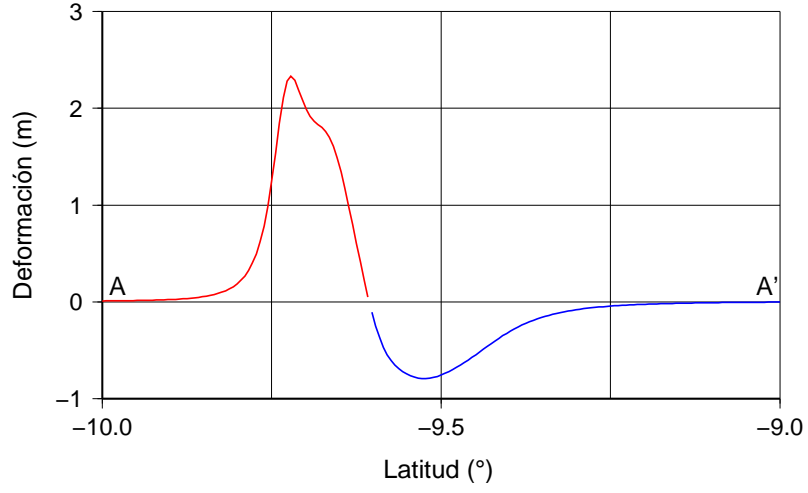


Figura 1: Ejemplo de Figura (en formato eps Encapsulated Post Script).

N	$v_p(km/s)$	$v_s(km/s)$	$\rho(g/cm^3)$	$t(km)$
1	1.50	0.00	1.02	4.2
2	5.66	3.23	2.60	2.0
3	5.92	3.38	2.60	8.0
4	6.20	3.54	2.90	12.0
5	6.44	3.68	3.38	8.0
6	6.87	3.92	3.38	20.0
7	7.92	4.52	3.37	0.0

Cuadro 1: Modelo de Tabla.

20 4. Resultados y Discusión

21 Ecuacion con una integral:

$$M_0 = \frac{4\pi\rho v^3 R_t}{R_{\theta\varphi}} \int_{\tau_1}^{\tau_2} s(t) dt \quad (4)$$

$$A = \int_a^b f(x) dx \quad (5)$$

22 La ecuación de Schrodinger $\hat{H}\Psi = E\Psi$ es una ecuación de valores propios:

$$i\hbar \frac{\partial}{\partial t} |\Psi(t)\rangle = H |\Psi(t)\rangle \quad (6)$$

23 5. Conclusiones

24 Aqui van las conclusiones

25 De acuerdo a la Figura 1, los valores maximo y minimo son 2.5 y -0.8.

26 Agradecimientos

27 Aqui van los agradecimientos. Primero se agradece a las personas y luego a las instituciones.

28 Referencias

29 [1] N. Apellido. Titulo del artículo. Rev. Inv. Fis., **21**(1), 18-26 (2018).

30 [2] H. Benny y J. Pérez. *Título de Libro*. Editorial San Marcos, Lima (2018).

31 [3] Y. Okada. Internal deformation in a half space. Bull. Seismol. Soc.Am. **82**(2) 1018-1040 (1992).

32 [4] M. Bazant and J. Bush. Beyond six feet: A guideline to limit indoor airborne transmission of
33 COVID-19, doi: <http://doi.org/10.1101/2020.08.26.20182824>.

34 [5] M. Kikuchi y H. Kanamori. *Notes on Teleseismic Body-Wave Inversion Program* [http://www.](http://www.eri.u-tokyo.ac.jp/ETAL/KIKUCHI)
35 [eri.u-tokyo.ac.jp/ETAL/KIKUCHI](http://www.eri.u-tokyo.ac.jp/ETAL/KIKUCHI) (2003).

36 [6] H. Pulker. *Coatings On Glass*. Elsevier Science, 2nd edition. Amsterdam (1999).